

การวิเคราะห์ผลการทดลอง

เนื่องจากขั้นตอนดำเนินการทดลองมีอยู่ 2 ขั้นตอนด้วยกัน ซึ่งผลการทดลองทั้ง 2 ส่วน ได้แสดงเอาไว้ในตารางที่ ค.1 ถึง ค.6 ในภาคผนวก ค ดังนั้นการวิเคราะห์ผลการทดลองจึง ต้องแยกวิเคราะห์ทีละส่วน แล้วจึงนำมาสรุปผลรวมกันอีกครั้งในบทสุดท้าย การวิเคราะห์ผลการทดลองมีรายละเอียดดังต่อไปนี้

5.1 การวิเคราะห์หาความสัมพันธ์ระหว่างค่า h_w กับความเร็วลม (v)

ข้อมูลในตาราง ค.1 จะถูกนำมาใช้คำนวณหาค่า h_w โดยมีขั้นตอนการคำนวณดังต่อไปนี้

- ก) คำนวณหาปริมาณความร้อนที่แผ่นกระจกได้รับ , $Q_{n=1}$
 เนื่องจาก $Q_{n=1}$ มีค่าเท่ากับกำลังงานไฟฟ้าที่จ่ายให้แก่ฮีทเตอร์จ่ายความร้อนหลัก
 ดังนั้น

$$Q_{n=1} = VI \quad \dots\dots(5.1)$$

- ข) คำนวณหาปริมาณการแผ่รังสีความร้อนออกจากแผ่นกระจกไปยังแบบจำลองท้องฟ้า
 ถึงแม้ว่าจะมีการให้ความร้อนแก่ผนังของแบบจำลองท้องฟ้า และมีการควบคุมอุณหภูมิ
 ที่ผนังให้เท่ากับอุณหภูมิเฉลี่ยที่ผิวของแผ่นกระจก ในทางปฏิบัติก็ย่อมมีความคลาดเคลื่อนไปได้บ้าง
 ดังจะเห็นได้จากค่าแตกต่างระหว่างอุณหภูมิ T_1, \dots, T_6 กับอุณหภูมิ T_{10}, \dots, T_{15} ในตาราง ค.1
 แสดงว่ายังคงมีการแผ่รังสีความร้อนบางส่วนออกจากแผ่นกระจกไปยังผนังของแบบจำลองท้องฟ้า
 ทำให้ต้องมีการคำนวณหาปริมาณความร้อนในส่วนนี้เพื่อนำไปหักออกจาก $Q_{n=1}$ ที่เหลือก็จะเป็น
 ปริมาณการพาความร้อนออกจากแผ่นกระจก ปริมาณการแผ่รังสีที่เกิดขึ้นนี้ (Q_{rad}) แบ่งออกเป็นสอง
 ส่วนคือ

- ข.1 ปริมาณการแผ่รังสีความร้อนจากแผ่นกระจกไปยังผนังด้านบนของแบบจำลอง
 ท้องฟ้า , Q_{r1}
 ข.2 ปริมาณการแผ่รังสีความร้อนจากแผ่นกระจกไปยังผนังด้านข้างของแบบจำลอง
 ท้องฟ้า , Q_{r2}

สมการที่ใช้ในการคำนวณหาปริมาณการแผ่รังสีความร้อนจากพื้นผิว 1 ไปยังพื้นผิว 2 คือ

$$Q_{rad} = F_{A1-A2} \epsilon \sigma A (T_g^4 - T_{sky}^4)$$

ดังนั้นสำหรับผนังด้านบนของแบบจำลองท้องฟ้า

$$Q_{rt} = F_{A1-A2} \epsilon \sigma A (T_g^4 - T_{rt}^4) \quad \dots (5.2)$$

และผนังด้านข้างทั้งสองข้าง

$$Q_{rm} = F_{A1-A3} \epsilon \sigma A (T_g^4 - T_{13}^4) + F_{A1-A4} \epsilon \sigma A (T_g^4 - T_{14}^4) \quad \dots (5.3)$$

โดยที่ F_{A1-A2} เป็นค่า Shape Factor จากแผ่นกระจกไปยังผนังด้านบนของแบบจำลองท้องฟ้ามีค่าเท่ากับ 0.8768 (ดูรายละเอียดที่มาในภาคผนวก ข)

F_{A1-A3} และ F_{A1-A4} เป็นค่า Shape Factor จากแผ่นกระจกไปยังผนังด้านข้างทั้งสองข้างของแบบจำลองท้องฟ้ามีค่าเท่ากับคือ 0.053

A คือพื้นที่ผิวของแผ่นกระจก มีค่าเท่ากับ 0.125 ตร.ม.

T_g คืออุณหภูมิเฉลี่ยที่ผิวของแผ่นกระจก $(T_1 + T_2 + T_3 + T_4 + T_5 + T_6) / 6$, K

T_{rt} คืออุณหภูมิเฉลี่ยที่ผนังด้านบนของแบบจำลองท้องฟ้า เท่ากับ $(T_{10} + T_{11} + T_{12}) / 3$, K

T_{13} และ T_{14} คืออุณหภูมิที่ผนังด้านข้างทั้งสองด้านของแบบจำลองท้องฟ้า, K

ดังนั้นจะได้ว่า

$$Q_{rad} = Q_{rt} + Q_{rm} \quad \dots (5.4)$$

ค) คำนวณหาปริมาณการพาความร้อนออกจากแผ่นกระจก, Q_{conv}

$$Q_{conv} = Q_{net} - Q_{rad} \quad \dots (5.5)$$

ง) คำนวณหาค่าสัมประสิทธิ์การถ่ายเทความร้อนแบบการพาความร้อน, h_w

เนื่องจาก $Q_{conv} = h_w A (T_g - T_a)$; $T_a = T_7$

เพราะฉะนั้น

$$h_w = Q_{conv} / A(T_g - T_f) \quad \dots (5.6)$$

สมการที่(5.6) เป็นสมการที่ใช้คำนวณค่า h_w สำหรับแต่ละชุดข้อมูล ดังนั้นสำหรับข้อมูลของผลการทดลองในตาราง ค.1 ก็จะสามารถคำนวณหาค่า h_w ที่แต่ละค่าของความเร็วลมได้

เพื่อเป็นการเปรียบเทียบความสัมพันธ์ระหว่างค่า h_w กับความเร็วลม (v) ที่ได้จากการทดลองนี้กับสมการของผู้วิจัยท่านอื่น ได้แก่สมการที่ (2.53), (2.54), (2.55) และ (2.56) จึงทำการคำนวณค่า h_w จากสมการทั้งสี่สมการ โดยใช้ข้อมูลของอุณหภูมิและความเร็วลมที่ได้จากการทดลอง ซึ่งมีขั้นตอนการคำนวณดังต่อไปนี้

5.1.1 การคำนวณหาค่า h_w จากสมการที่ (2.53)

สมการที่(2.53) เป็นสมการของ Pohlhausen ซึ่งมีรูปสมการคือ

$$Nu = 0.664 Pr^{1/3} Re^{1/2} \quad \dots (5.7)$$

โดยที่ $Nu = h_w L / k_f$, $Pr = Cp \mu / k_f$, $Re = \rho v L / \mu$

L คือ Characteristic Length ของแผ่นกระจก มีค่าเท่ากับค่าเฉลี่ยระยะห่างด้านกว้างและด้านยาวของกระจก = $(0.25+0.5)/2 = 0.375$ m

คุณสมบัติของอากาศ จะหาได้จากตาราง ก. ในภาคผนวก ก โดยใช้ค่าอุณหภูมิเฉลี่ยระหว่าง T_g กับ T_f เรียกอุณหภูมินี้ว่า Film Temperature. เมื่อแทนค่าคุณสมบัติของอากาศ (ที่ได้จากการ Interpolate ค่าในตาราง ก. ที่ค่าอุณหภูมิเฉลี่ยดังกล่าว) ทุกตัวลงในสมการที่ (5.7) ก็จะได้ค่า h_w ของข้อมูลชุดนั้นๆ

5.1.2 การคำนวณหาค่า h_w จากสมการที่ (2.54) และ (2.55)

สมการที่(2.54) และ (2.55) เป็นสมการการคาดคะเนค่า h_w โดยมีความเร็วลมเป็นตัวแปรอิสระเพียงตัวเดียวในสมการ โดยเฉพาะสมการที่ (2.54) เป็นสมการที่ยอมรับในการเอาไปใช้คำนวณหาค่า h_w ที่เกิดขึ้นบนแผ่นกระจกบิตหน้าของแผงรับแสงอาทิตย์มากสมการหนึ่งสมการทั้งสองมีรูปสมการดังนี้

$$\text{สมการของ McAdams} \quad ; \quad h_w = 5.7 + 3.8v \quad \dots\dots(5.8)$$

$$\text{สมการของ Watmuff} \quad ; \quad h_w = 2.8 + 3.0v \quad \dots\dots(5.9)$$

โดยที่ v คือความเร็วเฉลี่ยที่ผ่านแผ่นกระจก เท่ากับ $(v_1 + v_2 + v_3)/3$

5.1.3 การคำนวณหาค่า h_w จากสมการที่ (2.56)

สมการที่(2.56) เป็นสมการของSparrow ที่ได้รวมเอาตัวแปรที่มีอิทธิพลต่อค่า h_w ได้แก่ ความเร็วลมและความยาวของแผ่นราบ(Plate Characteristic Length) เข้าไว้ในสมการเดียวกัน อีกทั้งยังใช้ได้ในกรณีที่แผ่นราบวางทำมุมเอียงแนวราบได้อีกด้วย ทำให้สมการที่(2.56) สามารถนำไปประยุกต์ใช้กับแผงรับแสงอาทิตย์ได้เหมาะสมมากกว่าสมการของผู้วิจัยท่านอื่น ดังนั้นสมการของSparrowจึงถือว่าเป็นสมการอ้างอิงและเป็นแนวทางสำหรับการวิจัยนี้ เพื่อให้ได้สมการสำหรับคาดคะเนค่า h_w ที่ใช้ได้กับแผงรับแสงอาทิตย์อย่างเหมาะสมและถูกต้องยิ่งขึ้นต่อไป สมการที่(2.56) มีรูปสมการคือ

$$j = 0.931\text{Re}^{-1/2} \quad \dots\dots(5.10)$$

โดยที่

$$\text{Re} = \rho v S / \mu$$

S = ความยาวเฉลี่ยระหว่างด้านกว้างและด้านยาวของแผ่นกระจกรูปสี่เหลี่ยมผืนผ้า , m

$$j = (h_w / \rho C_p v) \text{Pr}^{2/3} \quad (\text{เรียกว่า "j-Factor"})$$

ดังนั้น

$$h_w = (0.931 / \text{Pr}^{2/3}) (\rho C_p v / \text{Re}^{1/2}) \quad \dots\dots(5.11)$$

ตัวอย่างการคำนวณจะใช้ข้อมูลชุดแรกในตาราง ค.1 ในภาคผนวก ค ซึ่งมีรายละเอียดข้อมูลดังนี้

$v_1 = 3.2$	$v_2 = 3.0$	$v_3 = 2.9$	$V = 49.8$	$l = 0.30$	$T_1 = 38.3$
$T_2 = 39.3$	$T_3 = 38.4$	$T_4 = 37.7$	$T_5 = 39.2$	$T_6 = 39.2$	$T_7 = 32.1$
$T_8 = 42.5$	$T_9 = 42.6$	$T_{10} = 36.5$	$T_{11} = 38.7$	$T_{12} = 37.9$	$T_{13} = 37.7$
$T_{14} = 39.2$	$T_{15} = 45.4$	$T_{16} = 38.8$			

ขั้นตอนการคำนวณจะเป็นดังต่อไปนี้

$$\begin{aligned} \text{จากสมการที่ (5.1)} \quad Q_{\text{net}} &= VI \\ &= 49.8 \times 0.30 = 14.94 \text{ W} \end{aligned}$$

$$\begin{aligned} T_g &= (T_1 + T_2 + T_3 + T_4 + T_5 + T_6) / 6 \\ &= (38.3 + 39.3 + 38.4 + 37.7 + 39.2 + 39.2) / 6 \\ &= 38.68 \text{ C} \end{aligned}$$

$$\begin{aligned} T_{rt} &= (T_{10} + T_{11} + T_{12}) / 3 \\ &= (36.5 + 38.7 + 37.9) / 3 \\ &= 37.7 \text{ C} \end{aligned}$$

แทนค่า T_g , T_{rt} ลงในสมการที่ (5.2) และ (5.3) จะได้ว่า

$$\begin{aligned} Q_{rt} &= 0.8768 \times 0.94 \times 5.6697 \times 10^{-8} \times 0.125 (T_g^4 - T_{rt}^4) \\ &= 0.69 \text{ W} \end{aligned}$$

และ

$$\begin{aligned} Q_{ra} &= 0.053 \times 0.94 \times 5.6697 \times 10^{-8} \times 0.125 [(T_g^4 - T_{13}^4) + (T_g^4 - T_{14}^4)] \\ Q_{ra} &= 0.02 \text{ W} \end{aligned}$$

ดังนั้น

$$\begin{aligned} Q_{RAD} &= Q_{rt} + Q_{ra} \\ &= 0.69 + 0.02 = 0.71 \text{ W} \end{aligned}$$

จากสมการที่ (5.5) จะได้ว่า

$$\begin{aligned} Q_{conv} &= Q_{\text{net}} - Q_{RAD} \\ &= 14.94 - 0.71 = 14.23 \text{ W} \end{aligned}$$

แทนค่า Q_{conv} , T_g , T_7 ลงในสมการที่ (5.6) จะได้ว่า

$$\begin{aligned} \Delta T &= 38.68 - 32.10 = 6.58 \text{ C} \\ h_w &= 14.23 / (0.125 \times 6.58) \\ &= 17.29 \text{ W/m}^2\text{-C} \end{aligned}$$

$$\text{ความเร็วลมเฉลี่ย , } v = (3.2 + 3.0 + 2.9) / 3 = 3.03 \text{ m/s}$$

$$\begin{aligned} \text{อุณหภูมิเฉลี่ยระหว่างแผ่นกระจกกับอากาศหรือ Film Temperature} &= (T_s + T_f)/2 \\ &= (38.68 + 32.10)/2 = 35.39 \text{ C} \end{aligned}$$

จากตาราง ก. ในภาคผนวก ก โดยวิธี Interpolation ที่อุณหภูมิ 35.39 C จะได้คุณสมบัติต่างๆของอากาศที่อุณหภูมิดังกล่าวดังต่อไปนี้

$$\begin{aligned} \rho_s &= (35.39 - 20)(1.127 - 1.204)/(40 - 20) + 1.204 \\ &= 1.145 \text{ kg/m}^3 \end{aligned}$$

$$\begin{aligned} C_{p_s} &= (35.39 - 20)(1007 - 1006)/(40 - 20) + 1006 \\ &= 1006.77 \text{ J/kg-K} \end{aligned}$$

$$\begin{aligned} k_s &= (35.39 - 20)(0.0272 - 0.0257)/(40 - 20) + 0.0257 \\ &= 0.0269 \text{ W/m-K} \end{aligned}$$

$$\begin{aligned} \mu_s &= (35.39 - 20)(1.90 \times 10^{-5} - 1.81 \times 10^{-5})/(40 - 20) + 1.81 \times 10^{-5} \\ &= 1.88 \times 10^{-5} \text{ kg/m-s} \end{aligned}$$

แทนค่าคุณสมบัติของอากาศที่ได้นี้ ลงในสมการที่(5.7) จะได้ว่า

$$Pr = 1006.77 \times 1.88 \times 10^{-5} / 0.0269 = 0.7045$$

$$Re = 1.145 \times 3.03 \times 0.375 / 1.88 \times 10^{-5} = 69300$$

$$Nu = 0.664 \times 0.7045^{1/4} \times 69300^{1/2} = 155.53$$

เพราะฉะนั้น

$$\begin{aligned} h_w &= Nu k_s / L = 155.53 \times 0.0269 / 0.5 \\ &= 8.35 \text{ W/m}^2\text{-C} \end{aligned}$$

เมื่อแทนค่า v ลงในสมการที่(5.8)และสมการที่(5.9) จะได้ค่า h_w ดังนี้

จากสมการของ McAdams	$h_w = 5.7 + 3.8 \times 3.03$	$= 17.23 \text{ W/m}^2\text{-C}$
จากสมการของ Watmuff	$h_w = 2.8 + 3.0 \times 3.03$	$= 11.90 \text{ W/m}^2\text{-C}$
จากสมการของ Sparrow	$j = 0.931 \times 69300^{-1/2}$	$= 3.54 \times 10^{-3}$
เนื่องจาก	$h_w = j(\rho_s C_{p_s} v) / Pr^{2/3}$	

ดังนั้น

$$h_w = 3.54 \times 10^{-3} (1.145 \times 1006.77 \times 3.03) / .7045^{2/3}$$

$$= 15.62 \text{ W/m}^2\text{-C}$$

สำหรับการทดลองนี้ จะหาค่า j -Factor ของผลการทดลองนี้ได้จากสมการที่ (5.10)

$$j_{\text{EXP}} = (h_w / \rho \cdot C_p \cdot v) \text{Pr}^{2/3}$$

$$= 17.29 \times 0.7045^{2/3} / (1.145 \times 1006.77 \times 3.03)$$

$$= 3.92 \times 10^{-3}$$

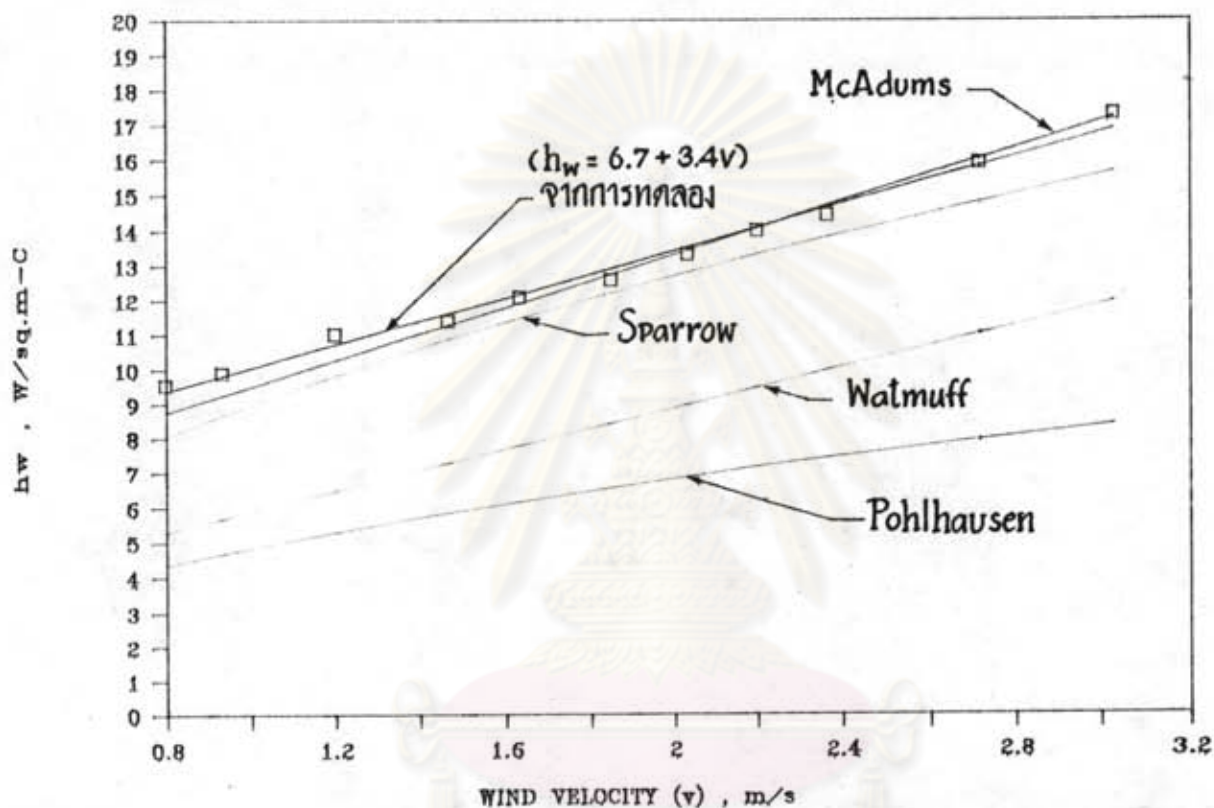
ทำนองเดียวกัน สำหรับข้อมูลชุดอื่นจากตาราง ค.1 ในภาคผนวก ค จะได้ผลการคำนวณหาค่า h_w ที่แต่ละความเร็วลม ดังแสดงเอาไว้ในตารางที่ 5.1 และตารางที่ 5.2 สำหรับคุณสมบัติของอากาศที่คำนวณได้นั้น ได้แสดงเอาไว้ในตารางที่ ค.7 ในภาคผนวก ค

ตารางที่ 5.1

ผลการคำนวณหาค่า h_w กับความเร็วลม (v) โดยข้อมูลจากตาราง ค.1

ข้อมูลชุดที่	ความเร็วลม v , m/s	h_w , W/m ² -C				
		ทดลอง	Pohlh.	McAdams	Watmuff	Sparrow
1	3.03	17.29	8.35	17.23	11.90	15.62
2	2.72	15.90	7.90	16.02	10.95	14.77
3	2.37	14.43	7.38	14.69	9.90	13.79
4	2.20	13.99	7.11	14.06	9.40	13.29
5	2.03	13.32	6.84	13.43	8.90	12.78
6	1.85	12.58	6.52	12.73	8.35	12.19
7	1.63	12.10	6.13	11.91	7.70	11.45
8	1.47	11.40	5.80	11.27	7.20	10.85
9	1.20	11.02	5.25	10.26	6.40	9.81
10	0.93	9.91	4.63	9.25	5.60	8.65
11	0.80	9.55	4.29	8.74	5.20	8.01

ตารางที่ 5.1 นี้แสดงให้เห็นความสัมพันธ์ระหว่างค่า h_w กับ v ในขณะที่กระจกได้รับปริมาณความร้อนเท่ากับ 14.94 W จากการทดลองจะพบว่าค่า Reynold Number สูงสุดเท่ากับ 6.93×10^4 ซึ่งไม่เกิน 5×10^5 แสดงว่าการไหลของอากาศอยู่ในช่วงลามินาร์ (Laminar Flow) ตลอดการทดลอง ซึ่งเมื่อเขียนกราฟความสัมพันธ์ระหว่างค่า h_w กับ v เพื่อเปรียบเทียบผลการทดลองที่ได้กับสมการที่ (5.7), (5.8), (5.9), (5.10) จะได้กราฟดังรูปที่ 5.1



รูปที่ 5.1 กราฟแสดงความสัมพันธ์ระหว่างค่า h_w กับความเร็วลม (v) ที่ได้จากการทดลอง

จากกราฟรูปที่ 5.1 จะเห็นได้ว่าค่า h_w ที่ได้จากการทดลองนี้จะใกล้เคียงกับค่าที่ได้จากสมการของ McAdams และ Sparrow ซึ่งเป็นกลุ่มสมการที่ได้รับการยอมรับว่ามีความถูกต้องและเหมาะสมเพียงพอในการคำนวณหาค่า h_w ที่แต่ละค่าความเร็วลมที่พัดผ่านแผ่นราบ แต่ว่าเป็นความสัมพันธ์เมื่อความยาวของแผ่นราบเท่ากับ 0.5 เมตรเท่านั้น สำหรับแผงรับแสงอาทิตย์โดยทั่วไปนั้นมีความยาวของด้านยาวมากกว่า 0.5 เมตร ดังนั้นสมการของ McAdams จึงจะไม่นำมาพิจารณาเปรียบเทียบกับผลการทดลองที่ความยาวของแผ่นราบค่าอื่นๆ ทั้งนี้เพราะว่าสมการของ McAdams ไม่ได้รวมเอาตัวแปรความยาวของแผ่นราบเอาไว้ในสมการด้วย และเมื่อนำข้อมูลในตาราง ค.1 มาคำนวณหาค่า β -Factor และค่า h_w ที่ได้จากการทดลองและจากสมการของ Sparrow แล้ว พบว่ามีค่าดังแสดงเอาไว้ในตารางที่ 5.2

ตารางที่ 5.2

ผลการคำนวณหาค่า h_w กับค่า j -Factor โดยข้อมูลจกตาราง ค.1

ข้อมูลชุดที่	ความเร็วลม v , m/s	Re $\times 10^4$	จากการทดลอง		Sparrow	
			h_w	j -Factor $\times 10^{-3}$	j -Factor $\times 10^{-3}$	h_w
1	3.03	6.93	17.29	3.92	3.54	15.62
2	2.72	6.16	15.90	4.04	3.75	14.77
3	2.37	5.35	14.43	4.21	4.02	13.79
4	2.20	4.97	13.99	4.39	4.18	13.29
5	2.03	4.59	13.32	4.53	4.35	12.78
6	1.85	4.17	12.58	4.71	4.56	12.19
7	1.63	3.67	12.10	5.13	4.86	11.45
8	1.47	3.29	11.40	5.39	5.13	10.85
9	1.20	2.68	11.02	6.38	5.68	9.81
10	0.93	2.08	9.91	7.39	6.45	8.65
11	0.80	1.78	9.55	8.32	6.98	8.01

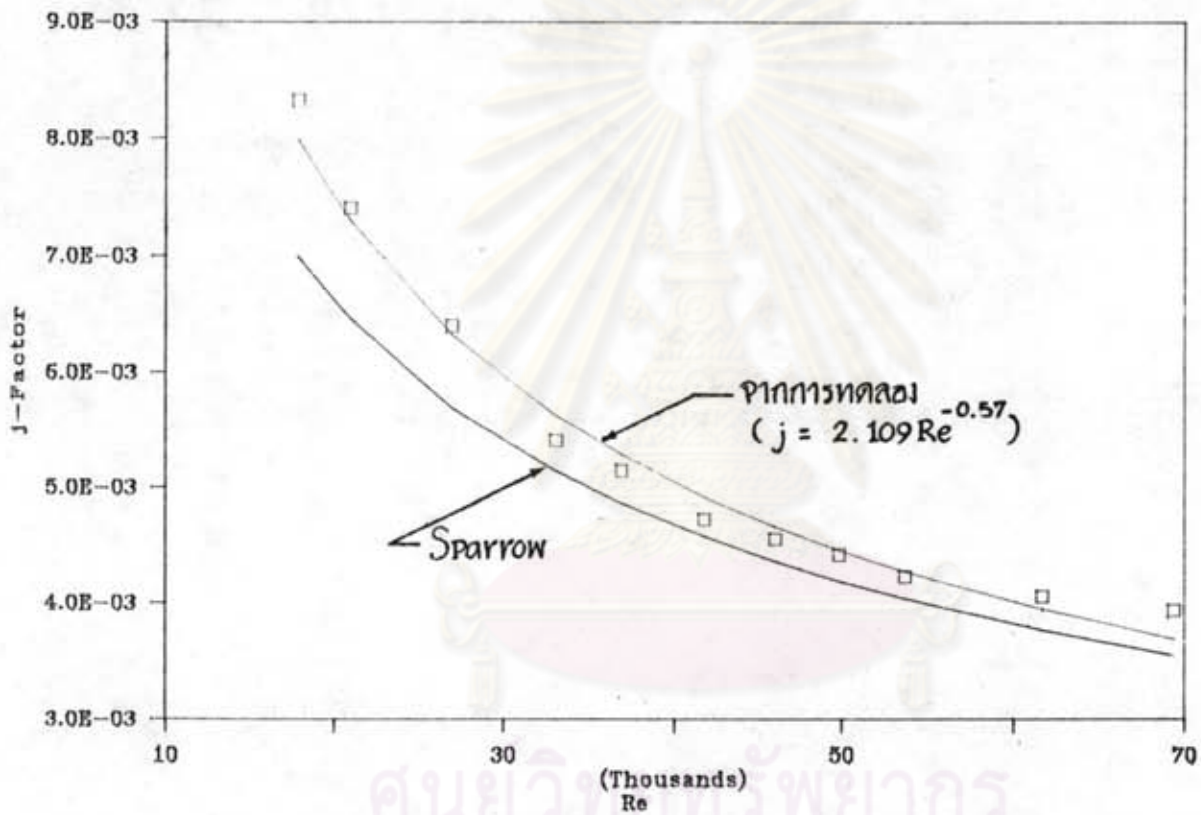
เมื่อนำข้อมูลของค่า j กับ Re มาทำการ Fit Curve ด้วยวิธี Least Square โดยอาศัยโปรแกรมคอมพิวเตอร์สำเร็จรูป ที่เขียนขึ้นด้วยภาษาแอปเปิลซอฟต์เบสิก (Applesoft Basic) โดย Paul K. Warne ซึ่งสามารถทำการ Fit Curve ข้อมูล แล้วประเมินผลออกมาเป็นรูปสมการเชิงเส้น (Linear), เอ็กซ์โปเนนเชียล (Exponential), จีโอเมตริก (Geometric) และ โพลีโนเมียล (Polynomial) แล้วเลือกสมการที่เหมาะสมที่สุดสำหรับข้อมูลนั้นๆ โดยการพิจารณาที่ค่า Coefficient of Correlation ที่ได้จากแต่ละสมการ พิจารณาเลือกสมการที่ให้ค่าดังกล่าวเข้าใกล้หนึ่งมากที่สุด (รายละเอียดของโปรแกรมนี้ ในส่วนที่เป็นภาษาเบสิกได้แสดงเอาไว้ในภาคผนวก ง) ผลการ Fit Curve ข้อมูลโดยโปรแกรมดังกล่าว ได้ความสัมพันธ์ระหว่างค่า j กับ Re ที่ได้จากการทดลองนี้ ในรูปของสมการจีโอเมตริก ซึ่งมีรูปสมการดังนี้คือ

$$j = 2.109Re^{-0.57}$$

....(5.12)

โดยที่ ค่าCoefficient of Correlation = 0.9903
ค่าStandard Error of Estimate = 0.0368

เมื่อนำเอาความสัมพันธ์ระหว่างค่า j กับ Re ที่ได้จากการทดลองและจากสมการที่ (5.10) ของ Sparrow ในช่วงความเร็วเดียวกัน มาเขียนกราฟเพื่อวิเคราะห์เปรียบเทียบกัน จะได้กราฟดังรูปที่ 5.2



รูปที่ 5.2 กราฟแสดงความสัมพันธ์ระหว่างค่า j -Factor กับค่า Re ที่ได้จากการทดลองและได้จากสมการของ Sparrow

จากกราฟรูปที่ 5.2 พบว่าค่า j -Factor ที่ได้จากสมการที่ (5.12) จะมีค่าสูงกว่าค่าที่ได้จากสมการที่ (5.10) เล็กน้อย โดยจะมีค่าแตกต่างกันมากขึ้นที่ความเร็วลมต่ำๆ ทั้งนี้อาจจะมีสาเหตุมาจากในขณะทำการทดลองที่ความเร็วลมต่ำการพาความร้อนแบบอิสระจะมีอิทธิพลมากขึ้น ทำให้การพาความร้อนที่เกิดขึ้นในขณะนั้นเป็นทั้งแบบอิสระและแบบบังคับ จึงมีผลทำให้ค่า h_w มีค่ามากขึ้นได้

ทำนองเดียวกันสำหรับข้อมูลจากตาราง ค.2 ในภาคผนวก ค. (ซึ่งได้จากการทดลอง

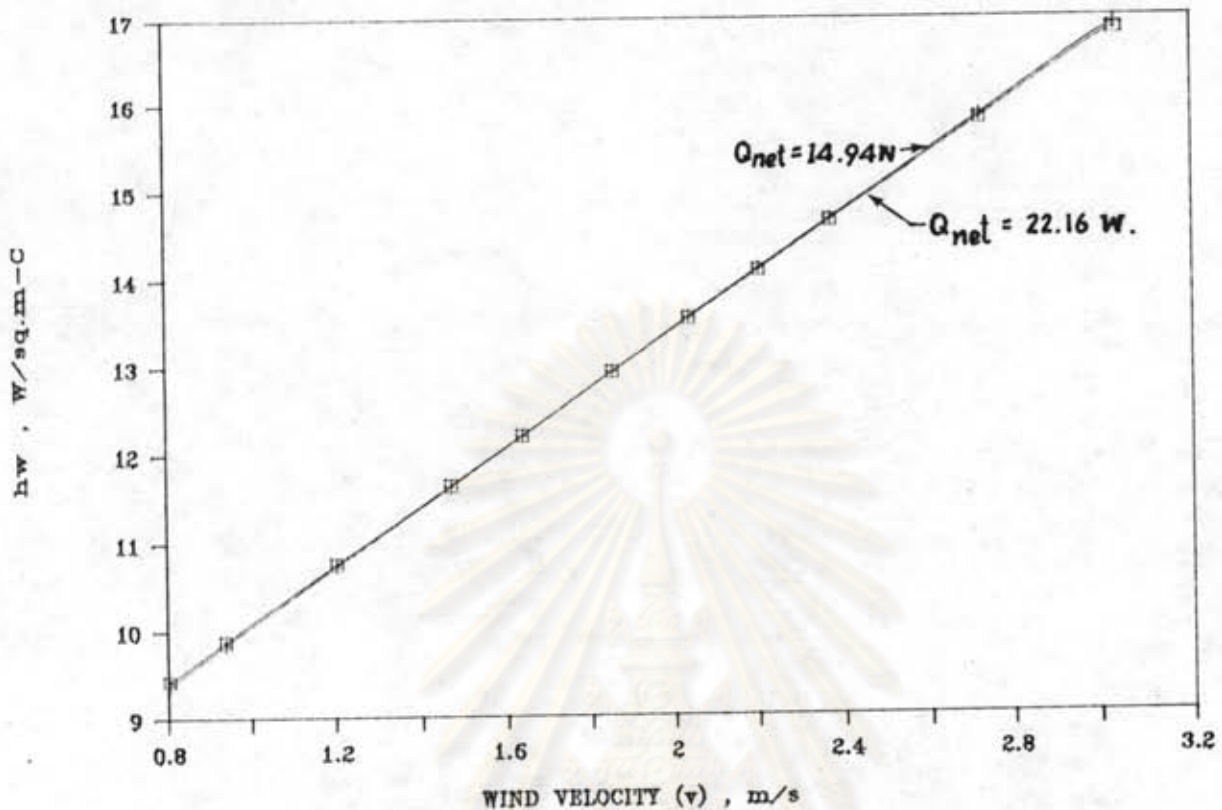
โดยที่แผ่นกระจกได้รับปริมาณความร้อนเพิ่มเป็น 22.16 W) โดยขั้นตอนการคำนวณเช่นเดียวกับข้างต้น จะได้ผลการคำนวณ ดังที่แสดงไว้ในตารางที่ 5.3

ตารางที่ 5.3

ผลการคำนวณหาค่า h_w กับค่า j-Factor โดยข้อมูลจากตาราง ค.2

ข้อมูลชุดที่	ความเร็วลม v , m/s	Re $\times 10^4$	จากการทดลอง		Sparrow	
			h_w	j-Factor $\times 10^{-3}$	j-Factor $\times 10^{-3}$	h_w
1	3.03	6.58	17.46	3.96	3.63	16.00
2	2.72	5.81	15.46	3.94	3.86	15.17
3	2.37	5.06	14.64	4.28	4.14	14.16
4	2.20	4.69	13.83	4.36	4.30	13.66
5	2.03	4.32	13.83	4.58	4.48	13.14
6	1.85	3.91	12.59	4.73	4.71	12.54
7	1.63	3.45	12.03	5.12	5.02	11.78
8	1.47	3.08	11.47	5.45	5.31	11.17
9	1.20	2.50	11.01	6.40	5.88	10.11
10	0.93	1.94	10.06	7.54	6.69	8.93
11	0.80	1.65	9.50	8.33	7.25	8.27

ผลการคำนวณในตารางที่ 5.2 ได้มาจากการทดลองโดยที่แผ่นกระจกได้รับปริมาณความร้อนเป็น 14.94 W ในขณะที่ผลการคำนวณในตารางที่ 5.3 ได้จากการที่แผ่นกระจกได้รับปริมาณความร้อนเพิ่มเป็น 22.16 W ทำให้ค่า T_m มีค่าเพิ่มขึ้น เมื่อนำค่า h_w ที่ได้จากการทดลองในตารางที่ (5.2) และ (5.3) มาเขียนกราฟเพื่อแสดงความสัมพันธ์กับค่าความเร็วลม (v) ได้กราฟดังรูปที่ 5.3



รูปที่ 5.3 กราฟแสดงความสัมพันธ์ระหว่างค่า h_w กับความเร็วลม (v) โดยที่แผ่นกระจกได้รับปริมาณความร้อนเป็น 14.94 และ 22.16 W ตามลำดับ

จากกราฟรูปที่ 5.3 จะเห็นว่าค่า h_w ไม่มีการเปลี่ยนแปลงในขณะที่แผ่นกระจกได้รับปริมาณความร้อนที่แตกต่างกัน ดังนั้นจึงถือว่าผลการทดลองที่ได้นี้ มีความถูกต้องและใช้ได้สำหรับปริมาณความร้อนค่าอื่นๆที่แผ่นกระจกได้รับ

5.2 การวิเคราะห์หาความสัมพันธ์ระหว่างค่า h_w กับมุมเอียงของแผงรับแสงอาทิตย์

ตารางที่ ค.3, ค.4, ค.5, ค.6 เป็นตารางแสดงผลจากการทดลองที่มุมเอียงเท่ากับ 5, 10, 15, 20 องศาตามลำดับ โดยอาศัยวิธีการคำนวณในหัวข้อที่ 5.1 มาคำนวณหาค่า h_w และค่า J จากตารางทั้ง 4 ตาราง จะได้ผลการคำนวณดังแสดงเอาไว้ในตารางที่ 5.4, 5.5, 5.6 และ 5.7 ตามลำดับ

ตารางที่ 5.4

ผลการคำนวณค่า h_w เมื่อมุมเอียงของแบบจำลองแผงรับแสงอาทิตย์เท่ากับ 5 องศา

ข้อมูลชุดที่	ความเร็วลม v , m/s	Re $\times 10^4$	จากการทดลอง		Sparrow	
			h_w	j-Factor $\times 10^{-3}$	j-Factor $\times 10^{-3}$	h_w
1	2.72	6.16	16.00	4.06	3.75	14.77
2	2.20	4.97	13.98	4.39	4.18	13.29
3	1.85	4.17	12.67	4.74	4.56	12.19
4	1.47	3.30	11.39	5.38	5.13	10.85
5	1.20	2.70	11.09	6.41	5.67	9.82
6	0.93	2.09	9.98	7.42	6.44	8.66
7	0.80	1.79	9.63	8.37	6.96	8.01

ตารางที่ 5.5

ผลการคำนวณค่า h_w เมื่อมุมเอียงของแบบจำลองแผงรับแสงอาทิตย์เท่ากับ 10 องศา

ข้อมูลชุดที่	ความเร็วลม v , m/s	Re $\times 10^4$	จากการทดลอง		Sparrow	
			h_w	j-Factor $\times 10^{-3}$	j-Factor $\times 10^{-3}$	h_w
1	2.72	6.17	16.02	4.07	3.75	14.78
2	2.20	4.97	14.02	4.41	4.18	13.29
3	1.85	4.17	12.68	4.74	4.56	12.19
4	1.47	3.30	11.40	5.39	5.13	10.85
5	1.20	2.70	11.11	6.42	5.67	9.82
6	0.93	2.09	9.93	7.39	6.44	8.66
7	0.80	1.79	9.59	8.34	6.96	8.01

ตารางที่ 5.6

ผลการคำนวณค่า h_w เมื่อมุมเอียงของแบบจำลองแผงรับแสงอาทิตย์เท่ากับ 15 องศา

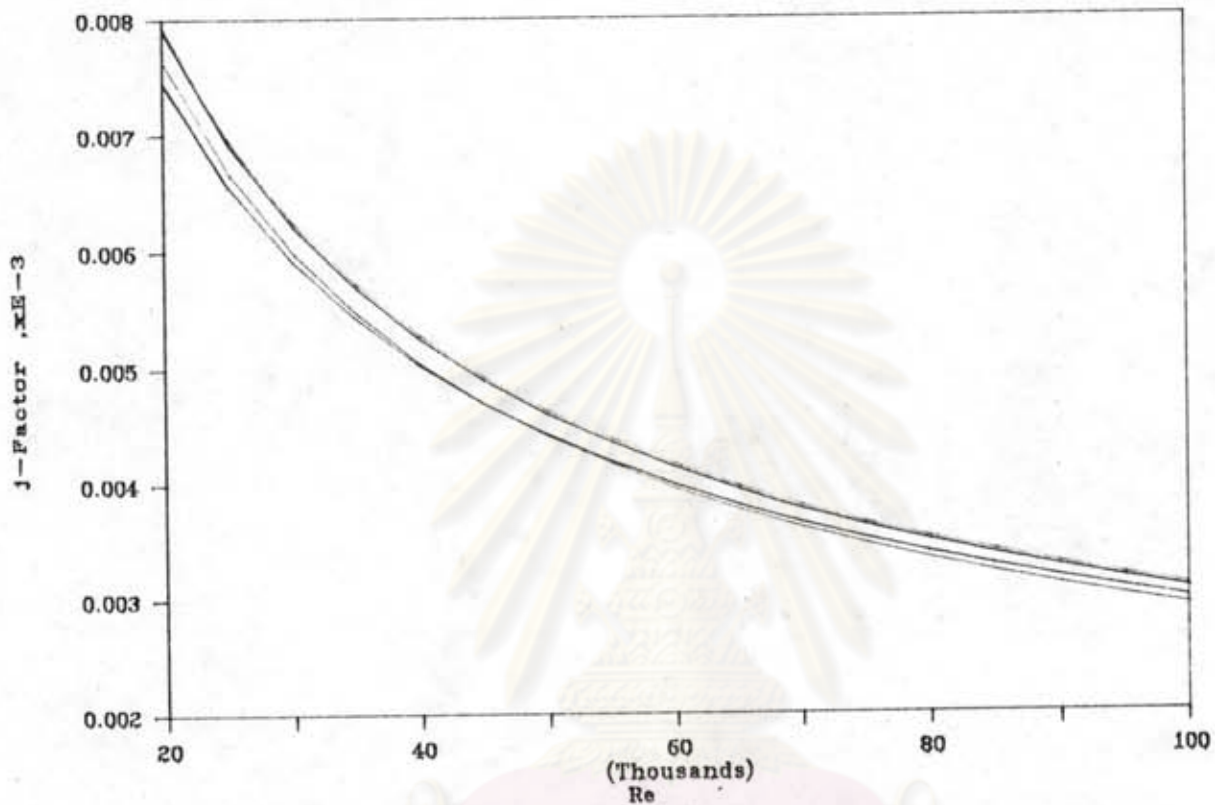
ข้อมูลชุดที่	ความเร็วลม v , m/s	Re $\times 10^4$	จากการทดลอง		Sparrow	
			h_w	j-Factor $\times 10^{-3}$	j-Factor $\times 10^{-3}$	h_w
1	2.75	6.24	15.91	3.99	3.73	14.87
2	2.23	5.05	14.08	4.35	4.14	13.39
3	1.90	4.28	12.71	4.63	4.50	12.35
4	1.50	3.37	11.40	5.26	5.07	10.97
5	1.20	2.69	11.08	6.40	5.67	9.82
6	0.93	2.09	9.95	7.41	6.44	8.66
7	0.83	1.86	9.58	8.00	6.82	8.18

ตารางที่ 5.7

ผลการคำนวณค่า h_w เมื่อมุมเอียงของแบบจำลองแผงรับแสงอาทิตย์เท่ากับ 20 องศา

ข้อมูลชุดที่	ความเร็วลม v , m/s	Re $\times 10^4$	จากการทดลอง		Sparrow	
			h_w	j-Factor $\times 10^{-3}$	j-Factor $\times 10^{-3}$	h_w
1	2.75	6.25	16.01	4.01	3.72	14.87
2	2.23	5.06	14.03	4.34	4.14	13.40
3	1.90	4.29	12.79	4.66	4.50	12.35
4	1.50	3.38	11.57	5.34	5.06	10.98
5	1.20	2.70	11.10	6.41	5.66	9.82
6	0.93	2.09	9.98	7.43	6.44	8.66
7	0.83	1.86	9.64	8.04	6.82	8.18

เมื่อนำความสัมพันธ์ระหว่างค่า j -Factor กับ Re ที่ได้จากตารางที่ 5.2, 5.4, 5.5, 5.6 และ 5.7 มาเขียนกราฟ เพื่อวิเคราะห์หาอิทธิพลของมุมเอียงของแผงรับแสงอาทิตย์ที่มีต่อค่า h_w จะได้กราฟดังรูปที่ 5.4



รูปที่ 5.4 กราฟแสดงความสัมพันธ์ระหว่างค่า j -Factor กับ Re เมื่อแบบจำลองแผงรับแสงอาทิตย์วางทำมุมเอียง 0, 5, 10, 15, 20 องศา กับแนวราบ

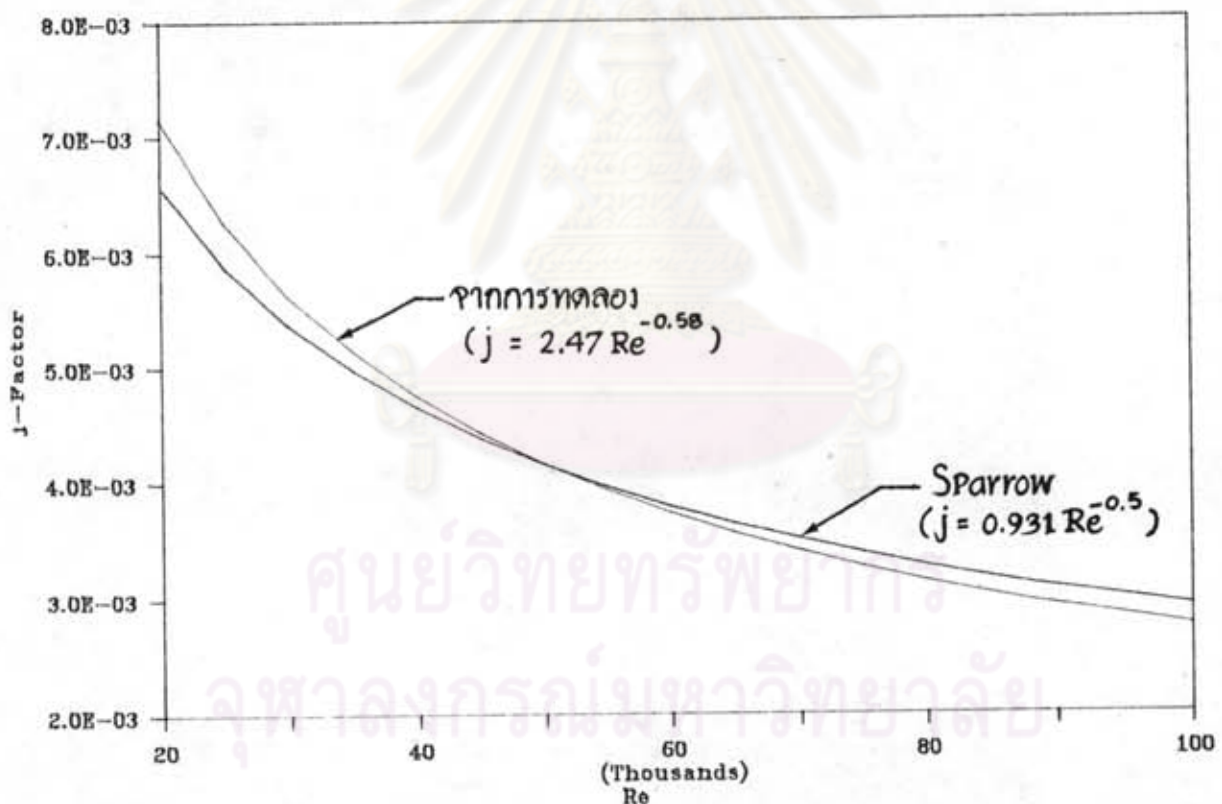
จากกราฟรูปที่ 5.4 จะเห็นว่ามุมเอียงของแผงรับแสงอาทิตย์ไม่มีอิทธิพลต่อความสัมพันธ์ระหว่างค่า j -Factor กับค่า Re กล่าวอีกนัยหนึ่งก็คือที่ความเร็วลมคงที่ค่าหนึ่งนั้น ค่า h_w จะมีค่าคงที่สำหรับทุกมุมเอียงของแผงรับแสงอาทิตย์ในช่วงตั้งแต่ 0 ถึง 20 องศา

เพื่อที่จะหาสมการสำหรับคาดคะเนค่า h_w ที่ได้จากการทดลองนี้จึงนำเอาค่า j -Factor และค่า Re ที่ได้จากการทดลองที่มุมเอียงของแบบจำลองแผงรับแสงอาทิตย์เท่ากับ 0, 5, 10, 15, 20 องศาจากตารางที่ 5.2, 5.4, 5.5, 5.6, 5.7 มารวมกันเป็นข้อมูลชุดเดียวกันแล้วทำการ Fit Curve ด้วยวิธี Least Square โดยอาศัยโปรแกรมสำเร็จรูป [10] สุดท้ายก็จะได้สมการสำหรับคาดคะเนค่า h_w ที่เกิดขึ้นบนแผ่นกระจกบิวดหน้าของแผงรับแสงอาทิตย์ ซึ่งมีรูปสมการดังต่อไปนี้คือ

$$j = 2.47Re^{-0.58} \quad \dots(5.13)$$

โดยที่ $h_w = j(\rho C_p v) / Pr^{2/3}$

สมการที่ (5.13) เป็นสมการจากการทดลอง ที่วิเคราะห์ตามแนวทางของการวิจัยของSparrow ทั้งนี้สาเหตุมาจากการวิจัยของSparrow ได้กล่าวถึงการประยุกต์ใช้สมการที่ได้จากการทดลองกับแผงรับแสงอาทิตย์อย่างชัดเจน รวมทั้งได้มีการวิเคราะห์เปรียบเทียบข้อได้เปรียบที่มีต่อสมการของMcAdamsอย่างมีเหตุผลและถูกต้อง(ดูรายละเอียดในหัวข้อที่ 1.2 ในบทที่ 1) ทำให้การวิจัยของSparrow เป็นการวิจัยที่สมควรที่สุดที่จะนำมาเป็นแนวทางและเปรียบเทียบกับผลที่ได้จากการทดลองนี้ เมื่อนำเอาสมการที่ (5.13) และ สมการที่ (5.10) มาเขียนกราฟเพื่อเปรียบเทียบความสัมพันธ์ในช่วงของค่าReynold Number ตั้งแต่ 20000 ถึง 100000 จะได้กราฟดังรูปที่ 5.5



รูปที่ 5.5 กราฟเปรียบเทียบความสัมพันธ์ระหว่างค่าj-FactorกับRe ที่ได้จากการทดลองนี้ กับสมการของSparrow

จากกราฟรูปที่ 5.5 จะเห็นว่าผลที่ได้จากสมการที่(5.13)นั้น จะมามีค่าสูงกว่าผลที่ได้จากสมการของSparrowเล็กน้อยในช่วงของค่าReynold Numberต่ำๆ ทั้งนี้เนื่องมาจากอิทธิพล

ของการพาความร้อนแบบอิสระดังกล่าวมาแล้วข้างต้น ซึ่งเมื่อความเร็วลมมีค่ามากขึ้นค่าReynold Numberจะมีค่ามากขึ้นด้วย อิทธิพลของการพาความร้อนแบบอิสระก็จะลดลงตามไปทำให้ผลที่ได้จากการทดลองนี้มีแนวโน้มที่จะมีค่าต่ำกว่าผลที่ได้จากสมการของSparrow ในขณะที่Reynold Numberมีค่ามากขึ้นเรื่อยๆ สาเหตุที่การพาความร้อนแบบอิสระมีอิทธิพลต่อผลการทดลองนี้มาก ก็เพราะว่าแผ่นกระจกที่ใช้ในการทดลองนี้ มีขนาดโตกว่าแผ่นราบที่ใช้ในการวิจัยของSparrow ประมาณ 20 เท่า ดังนั้นปริมาณการพาความร้อนแบบอิสระจึงมีค่ามากนั่นเอง ทำให้เป็นข้อได้เปรียบของสมการที่(5.13) ในการนำไปใช้คำนวณหาค่า h_w ที่เกิดขึ้นบนแผ่นกระจกปิดหน้าแผงรับแสงอาทิตย์



ศูนย์วิทยทรัพยากร
จุฬาลงกรณ์มหาวิทยาลัย